

بررسی عملکرد نتوکتونیک بر مخروط افکنهای با تأکید بر توان لرزه‌خیزی گسل‌ها (منطقه مورد مطالعه: دامنه‌های شمالغرب سهند)

عقیل مددی^۱ - دانشیار ژئومورفولوژی، دانشگاه محقق اردبیلی، اردبیل، ایران

داود مختاری - استاد ژئومورفولوژی، دانشگاه تبریز، تبریز، ایران

حمدیه شیرزادی - کارشناس ارشد ژئومورفولوژی، دانشگاه تبریز، تبریز، ایران

ارسان مهرورز - دانشجوی دکتری مخاطرات ژئومورفیک، دانشگاه محقق اردبیلی، اردبیل، ایران

تاریخ دریافت: ۱۳۹۴/۹/۳ تاریخ تصویب: ۱۳۹۵/۲/۱۳

چکیده

مخروط‌های افکنهای ایکی از اشکال ژئومورفولوژی پایکوهی در مناطق خشک و نیمه‌خشک می‌باشند که با وجود موقعیت مناسب برای اجرای برنامه‌های عمران و توسعه سکونتگاهی، نسبت به فرایندهای مخاطره-آمیز ژئومورفیک از جمله رخداد زمین‌لرزه حساس هستند. در پژوهش حاضر سعی بر این است که با بررسی مخروط‌های افکنهای واقع در دامنه‌های شمال‌غرب سهند، توان لرزه‌خیزی گسل‌ها و پهنه‌بندي خطرات ناشی از آن را روی مخروط‌های افکنهای به خوبی نشان داده شود. مخروط‌های افکنهای منطقه یکی از مراکز مهم تأمین‌کننده نیازهای زراعی و کشاورزی سکونتگاه‌های اطراف به شمار می‌آیند. نتایج حاصل از بررسی مخروط‌های افکنهای منطقه مورد مطالعه حاکی از آن است که این مناطق به دلایلی چند از جمله نزدیکی به گسل‌ها و دارا بودن سازندگان سست و متخلخل (آبرفت‌های کواترنر)، در معرض خطرات ناشی از زلزله هستند. توان لرزه‌خیزی گسل‌ها و پهنه‌بندي خطر آن‌ها بر روی مخروط‌های افکنهای با استفاده از روش تحلیل فضایی بر بریان می‌باشد. ابتدا با استفاده از شاخص‌های ژئومورفیک (FCI، SMF، B، VF) میزان فعالیت تکتونیک در منطقه مورد بررسی قرار گرفت. سپس توان لرزه‌خیزی گسل‌های موجود در سطح و مجاورت مخروط‌های افکنهای با روش‌های زارع، مهاجر-اشجاعی، ملویل و اسمیت محاسبه گردید، درنهایت با استفاده از روش تحلیل فضایی بر بریان میزان خطر گسل بر روی مخروط‌های افکنهای و کاربری‌های مختلف انسانی موجود بر سطح آن‌ها و درصد تراکم کاربری‌ها در حریم گسل محاسبه گردید، و همچنین نتایج حاصل از پهنه‌بندي خطر گسل بر روی مخروط‌های افکنهای نیز بیانگر آن است که ۰/۵۸ مناطق مسکونی، ۰/۶۹ زمین زراعی، ۰/۶۱ چشممه‌ها و ۰/۳۹ خطوط ارتباطی در حریم ۱۰۰۰ متری گسل (محدوده با خطر بالا) قرار دارند و قابلیت لرزه‌خیزی گسل‌ها با طول گسل ارتباط مستقیم وجود دارد.

کلیدواژه‌ها: تکتونیک، مخروط‌های افکنه، توان لرزه‌خیزی، دامنه‌های کوه سهند.

۱. مقدمه

سطح زمین متشكل از عارضه‌ها و اشکال مختلفی است، که این اشکال دائماً در حال تغییر و تحول می‌باشند، در تغییر و تحول این اشکال دو دسته عوامل بیرونی و درونی نقش تعیین‌کننده‌ای دارند (روستایی و همکاران، ۱۳۸۸: ۱۲۳). عوامل درونی سبب شکل‌گیری ساختار اولیه و عوامل بیرونی سبب فرسایش، تغییر شکل و تخریب این اشکال می‌گردند (موسوی حرمی، ۱۳۸۱: ۲۲۵). مناطقی که تحت تأثیر این فعالیت‌ها قرار گرفته اشکال گوناگون ژئومورفولوژیکی مختلفی در آن شکل می‌گیرد، مخروطه‌افکنه‌ها از جمله اشکالی هستند که در اثر عوامل گوناگونی در این ارتفاعات شکل گرفته‌اند (عبادی‌نی و رجایی، ۱۳۸۵: ۸۱). مخروطه‌افکنه‌ها به دلیل استقرار پاره‌ای سکونتگاه‌ها، مراکز اقتصادی و عبور راه‌های ارتباطی تجاری نقش مهمی در زندگی انسان‌های ساکن در آن مناطق دارند. در شکل‌گیری و گسترش این مخروطه‌افکنه‌ها عواملی دخالت دارند که درگذشته سبب شکل‌گیری و در شرایط کنونی سبب گسترش آن‌ها شده‌اند (هاگت^۱، ۲۰۰۳: ۲۰۰). فعالیت این عوامل تأثیر مثبت و منفی زیادی در زندگی انسان‌های ساکن در مخروطه‌افکنه‌های منطقه داشته و در آینده خواهد داشت. در بین این عوامل فعالیت نتوکتونیکی نقش تعیین‌کننده‌ای در این زمینه داشته است (عباس نژاد، ۱۳۷۶: ۱۹۰) اغلب زمین‌لرزه‌ها با حرکت توده‌های سنگ در سطح گسل رخ می‌دهند. چنین حرکات لرزه‌ای در پهنه ژئومورفولوژیکی مخروطه‌افکنه‌ها به سبب شرایط خاص آن‌ها (تکرار و توالی) خطرآفرین است (شایان و زارع، ۱۳۹۲: ۹۵). فلات ایران از نظر زمین ساختی یکی از فعال‌ترین مناطق جهان است و به عنوان بخشی از کمریند آلپ - هیمالیا همه‌ساله زمین‌لرزه‌های متعددی در آن رخ می‌دهد. به همین علت زمین‌لرزه در فلات ایران یکی از مهم‌ترین مخاطرات طبیعی بوده و در اثر آن خسارت‌های مالی و جانی زیادی بر جای مانده است.

از لندرم‌های معمول در جبهه کوهستان، مخروطه‌افکنه‌ها هستند، که در اثر کاهش ناگهانی قدرت رودخانه درنتیجه تغییر شیب توپوگرافیک به وجود می‌آیند (بول و مک فادن^۲، ۱۹۷۷: ۲۶۱). مخروطه‌افکنه‌ها از جمله اشکال ژئومورفولوژیکی هستند که به دلیل موقعیت و شرایط مناسب طبیعی از دیرباز بستر فعالیت‌های متنوع عمرانی، کشاورزی و سکونتگاهی بوده‌اند. در عین حال متأثر از فرایندهای مخاطره‌آمیز مختلف، خصوصاً فعالیت‌های زمین‌لرزه‌ای می‌باشند (رجبی و آفاجانی، ۱۳۸۹: ۱۲)، در حقیقت فعالیت‌های تکتونیکی در منطقه شرایط شکل‌گیری مخروطه‌افکنه‌های بزرگی را فراهم نموده است. در زمینه نقش فعالیت‌های تکتونیکی در شکل‌گیری و گسترش مخروطه‌افکنه‌ها محققانی نظیر رامیرز (۱۹۹۸: ۳۶۸-۳۱۷)،

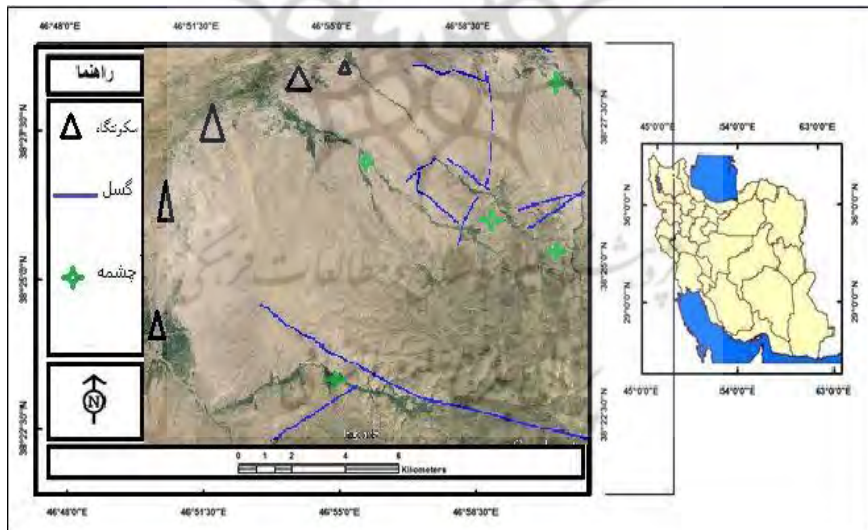
1 Haget

2 Bull & Mcfadden

هوک^۱ (۱۹۷۲: ۸۳)، روک ول^۲ (۱۹۸۴: ۳۲۰)، دریو^۳ (۱۸۷۳: ۱۲۶)، مکفرسن^۴ (۱۹۷۲: ۱۶۱) و آندرنچکوف^۵ (۲۰۰۴: ۲۲۰) مطالعات گستردۀای را انجام داده و به نتایج ارزشمندی رسیده‌اند. درین محققان و پژوهشگران ایرانی نیز رضایی مقدم (۱۳۷۴: ۱۱۷-۱۷۶) در دامنه‌های جنوبی میشو DAG، مختاری و خیام (۱۳۸۲) در دامنه‌های شمالی میشو DAG و عباس نژاد (۱۳۷۵: ۱۴۰) در منطقه رفسنجان مطالعات ارزشمندی انجام داده‌اند، در این پژوهش سعی بر این است با مطالعه تاثیر تکتونیکی در شکل‌گیری و گسترش مخروط‌افکنه‌های دامنه‌های شمال‌غرب سهند و محاسبه توان لرزه‌زای گسل‌ها با پهنگ‌بندی میزان خطر ناشی از موقعیت گسل بر مخروط‌افکنه‌ها و فعالیت‌های انسانی بررسی و ارزشیابی قرار گیرد.

۲. منطقه مورد مطالعه

کوهستان سهند با مختصات جغرافیایی $37^{\circ}07'$ شمالي و $45^{\circ}00'$ شرقی در شمال‌غرب ایران واقع است. مساحت کل مخروط‌افکنه‌های مورد مطالعه $29,874\text{ km}^2$ کیلومتر مربع می‌باشد. این توده کوهستانی وسعت زمینی معادل 8000 کیلومتر مربع را دربر می‌گیرد و متشكل از تعداد زیادی دره‌های اصلی و فرعی است که با توجه به ساختار، دره‌ها به شکل شعاعی هستند. منطقه مورد مطالعه در دامنه‌های شمال‌غربی کوه سهند در 45 کیلومتری جنوب تبریز واقع شده است (شکل ۱).



شکل ۱ موقعیت منطقه مورد مطالعه واقع در شمال‌غرب ایران

1 Hooke

2 Rockwell

3 Derew

4 Macferson

5 AndrevKorienkoy

۳. مواد و روش‌ها

در این پژوهش، نخست نقشه‌های ۱:۲۵۰۰۰ سازمان نقشه‌برداری به عنوان نقشه‌های پایه درشناسایی واحدهای توپوگرافی و موقعیت مخروطه‌افکنهای مورد استفاده قرار گرفته است. سپس نقشه‌های زمین‌شناسی ۱:۱۰۰۰۰۰ منطقه نیز برای شناسایی گسل‌ها و سازندهای زمین‌شناسی منطقه مورد استفاده قرار گرفته شد. عکس‌های هوایی ۱:۵۰۰۰۰، ۱:۴۰۰۰۰، ۱:۲۰۰۰۰، ۱:۱۰۰۰۰ منطقه همچنین تصاویر ماهواره‌ای نیز در تکمیل مطالعات مورد استفاده قرار گرفت. بعد از شناسایی مخروطه‌افکنهای وبررسی اولیه آن‌ها از روی اسناد، اقدام به جمع‌آوری داده‌های زمین‌لرزه منطقه شده است. با بررسی نقشه‌های زمین‌شناسی موجود، گسل‌های منطقه شناسایی و مهمترین آن‌ها در روی زمینه تصویر ماهواره‌ای ترسیم شده (شریفی کیا و افضلی، ۱۳۹۱: ۷۳)، سپس به بررسی ویژگی‌های لرزه‌خیزی منطقه پرداخته و فهرست زمین‌لرزه‌ها در گسترش شعاعی ۳۰۰ کیلومتری جمع‌آوری اطلاعات شد. همچنین از پارامترهای اولیه مربوط به برآورد خطر زلزله (پورکرمانی، ۱۳۷۶: ۶۷)، یعنی توان لرزه‌ای گسل‌های فعال منطقه با استفاده از فرمول‌های زارع (۱)، اشجاعی و نوروزی (۲) محاسبه گردید.

$$Mw = \ln(L) * 0.91 + 3.6 \quad (1)$$

$$M = \log L + 5.4 \quad (2)$$

شدت نسبی زلزله در کانون زلزله با استفاده از فرمول ریشترا- گوتبرگ^۱ (۳) :

$$\log = 1.7 MS - 2.8 \quad (3)$$

شدت نسبی زلزله بر حسب مقیاس مرکالی Io :

برآورد شتاب (۴)، سرعت (۵) و جابجایی (۶) از فرمول‌های تریفوناک و بریدی^۲

$$\log Ah = -0.014 + 0.3 Io \quad (4)$$

$$\log Av = -0.18 + 0.3 Io$$

$$\log Vh = 0.63 + 0.25 Io \quad (5)$$

$$\log Vv = -1.1 + 0.28 Io$$

$$\log Dh = -0.53 + 0.19 Io \quad (6)$$

$$\log Dv = -1.13 + 0.24 Io$$

¹ Richter ° Gutenberg
² Trifunac and Brady

به منظور تعیین میزان خطر گسل‌ها بر روی مخروط افکنه‌ها از روش تحلیل فضایی بربیان استفاده شده است. در این روش محدوده‌های خطر در چهار ناحیه قرار می‌گیرند:

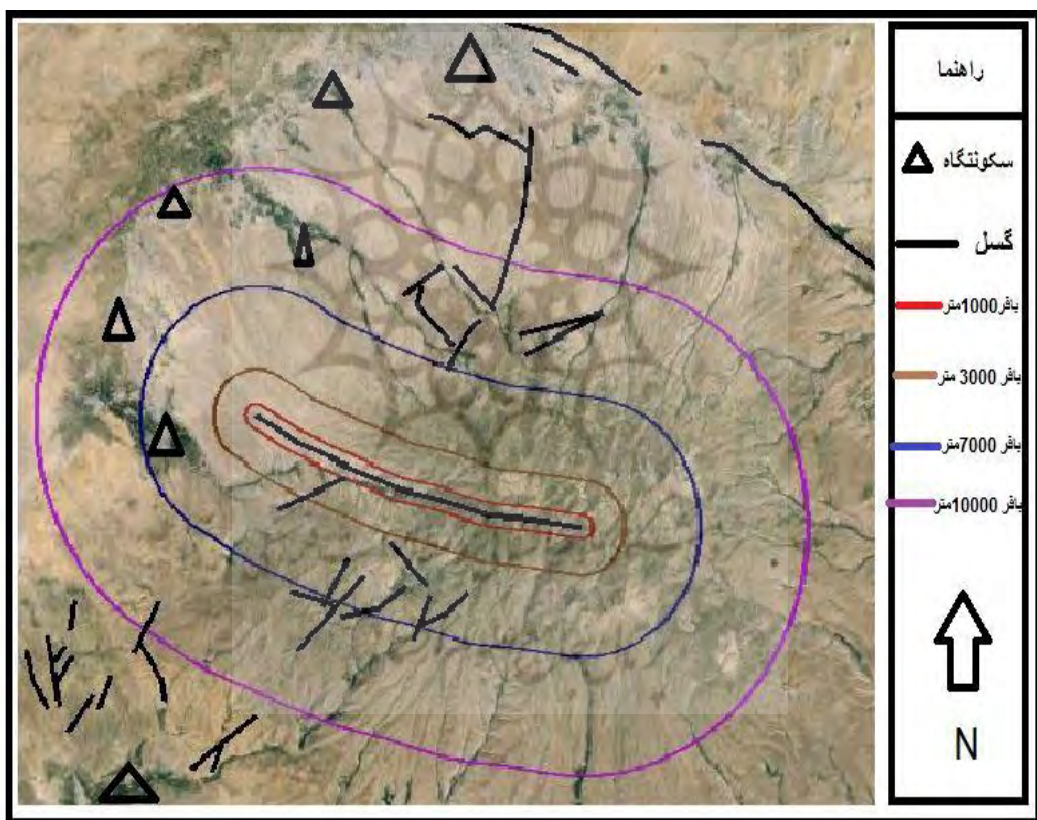
۱- با فاصله ۱۰۰۰ متری اطراف گسل با عنوان پهنهٔ حریم گسل

۲- با فاصله ۳۰۰۰ متری اطراف گسل با عنوان پهنهٔ ویرانی شدید

۳- با فاصله ۷۰۰۰ متری اطراف گسل با عنوان پهنهٔ تکان شدید یا ویرانی گستردگی

۴- با فاصله ۱۰۰۰۰ متری گسل با عنوان پهنهٔ حرکت تند یا خسارت زیاد

جهت تعیین میزان خطر گسل بر روی مخروط افکنه‌ها ابتدا نقشهٔ گسل‌های منطقه مورد مطالعه با استفاده از نقشه زمین‌شناسی ۱:۱۰۰۰۰۰ مورد مطالعه و نرم‌افزار گوگل ارث تهیه شد. سپس حریم‌بندی ۱۰۰۰، ۳۰۰۰، ۷۰۰۰ و ۱۰۰۰۰ متر روی گسل اصلی انجام گرفت.



شکل ۲ مساحت مخروط افکنه در حریم گسل بزرگ منطقه

پس از بررسی وضعیت مخروط افکنه‌ها نسبت به گسل، به انطباق کاربری‌های مختلف در سطح مخروط افکنه‌ها با حریم‌های موجود بر روی گسل‌ها پرداخته شد. برای این منظور ابتدا لایه‌های رقومی مورد نیاز

شامل مناطق مسکونی، زمین‌های زراعی، خطوط ارتباطی و چشمه‌ها با استفاده از نقشه توپوگرافی، مراجعات میدانی و نرم‌افزار گوگل ارث تهیه و هریک از لایه‌ها با لایه حریم‌های موجود بر روی گسل‌ها منطبق گردید. سپس تعداد هریک از کاربری‌ها در هر حریم شمارش شده تا مجموع آن به دست آید. درنهایت با استفاده از تناسب درصد تراکم هر کاربری در هر حریم محاسبه گردیده و مناطق مسکونی در هریک از حریم‌ها نیز محاسبه شد. برای سایر کاربری‌ها (چشمه و خطوط ارتباطی) نیز با منطبق کردن لایه کاربری مورد نظر با لایه حریم‌ها، مجموع هر کاربری در هریک از حریم‌ها به دست آمده و درصد تراکم آن بیان شده است. جهت بررسی وضعیت زمین‌های زراعی موجود بر روی مخروط‌افکنه‌ها نسبت به گسل، ابتدا محدوده زمین‌های زراعی موجود بر روی مخروط‌افکنه‌ها با استفاده از نرم افزار گوگل ارث و برداشت با GPS مشخص و مساحت زمین‌های زراعی در هریک از حریم‌ها محاسبه شد. (همانند روش محاسبه مساحت مخروط‌افکنه‌ها که پیش از این به شرح آن پرداختیم)، سپس مجموع مساحت زمین زراعی در هر حریم به دست آمده و درصد تراکم زمین زراعی در هر حریم نیز مشخص شد. با توجه به کثرت لایه‌های کاربری مورد مطالعه در این پژوهش به ذکر یک نمونه از مخروط‌افکنه‌ها که سایر کاربری‌های مورد مطالعه بر روی آن قرار دارد اکتفا شده است (جدول ۱ و ۲).

جدول ۱ تراکم کاربری‌های موجود بر روی مخروط افکنه در حریم گسل

| ردیف | کاربری | تعداد | حریم ۱۰۰۰ متر | حریم ۳۰۰۰ متر | درصد کاربری حریم ۱۰۰۰ | درصد کاربری حریم ۳۰۰۰ | درصد کاربری |
|------|--------------|-------|---------------|---------------|-----------------------|-----------------------|-------------|
| ۱ | مناطق مسکونی | ۱ | ۰ | ۱ | ۱۰۰/۰ | ۰ | |
| ۲ | خطوط ارتباطی | ۱ | ۰ | ۱ | ۱۰۰/۰ | ۰ | |
| ۳ | مخزن آب | ۱ | ۰ | ۱ | ۱۰۰/۰ | ۰ | |

جدول ۲: تراکم کاربری زمین زراعی بر روی مخروط افکنه در حریم گسل

| ردیف | کاربر | مساحت | مساحت در حریم ۱۰۰۰ متر | مساحت در حریم ۳۰۰۰ متر | درصد کاربری | درصد کاربری |
|------|------------|----------|------------------------|------------------------|-------------|-------------|
| ۱ | زمین زراعی | ۰۸۷۴۶۱/۱ | ۰۸۷۴۶۱/۱ | ۰ | ۱۰۰/۰ | ۰ |

۴. بحث و نتایج

تأثیر فعالیت تکتونیک بر شکل مخروط‌افکنه‌ها با استفاده از این شاخص‌ها مورد تحلیل قرار گرفت: بررسی تأثیر تکتونیک بر مخروط‌افکنه‌ها با استفاده از شاخص Vf : محاسبه شاخص Vf بر روی مخروط‌افکنه‌های منطقه مورد مطالعه نشان می‌دهد که تنها دو مخروط افکنه شماره ۶ و ۷ از مقدار شاخص بین ۲-

اقرار دارد و سایر مخروط افکنه‌های منطقه دارای شاخصی کوچک‌تر از ۱می باشد (جدول ۳). بررسی تأثیر تکتونیک بر مخروط افکنه‌ها با استفاده از این شاخص: نتایج محاسبه شاخص خمیدگی بر روی مخروط افکنه‌های مورد مطالعه نشان می‌دهد که مخروط افکنه‌های شماره ۲، ۳، ۵، ۹ کوچک‌ترین مقدار ضریب خمیدگی و مخروط افکنه‌های شماره ۶، ۷ و ۱۰ بزرگ‌ترین مقدار ضریب خمیدگی را به خود اختصاص داده‌اند (جدول ۳). روش بعدی بررسی تأثیر تکتونیک بر روی مخروط افکنه‌ها با استفاده از شاخص شکل مخروط FCI هستش که نشان می‌دهد، که همه مخروط افکنه‌ها دارای مقدار کمتر از یک (بین ۹۸/۰-۳۰/۰) می‌باشند. کمترین مقدار این شاخص در مخروط افکنه شماره ۲ در برابر ۳۰/۰ هست و نزدیک‌ترین مقدار به مخروط تیپیک ۹۸/۰ در مخروط افکنه شماره ۱۰ می‌باشد (جدول ۳). در شاخص بعدی تأثیر تکتونیک برروی مخروط افکنه‌ها با استفاده از شاخص سینوزیته جبهه کوهستان (Smf) مورد بررسی قرار گرفت که نتایج حاصل از محاسبه شاخص سینوزیته جبهه کوهستان بر روی مخروط افکنه‌های منطقه مورد مطالعه نشان می‌دهد که تنها دو مخروط افکنه شماره ۶ و ۷ مقدار شاخص ۴/۱ تا ۳ را دارند و در سایر مخروط افکنه‌ها مقدار شاخص فوق بین ۱ تا ۶/۱ قرار دارد. نتایج به دست آمده از محاسبه شاخص‌ها نشان‌دهنده این نکته است که:

۱. تکتونیک (گسل) بر روی تمامی مخروط افکنه‌های مورد مطالعه اثر گذار است.
۲. میزان عملکرد تکتونیک در زون‌های ساختمانی منطقه متفاوت می‌باشد.

جدول ۳ نتایج محاسبه شاخص‌های ژئومورفیک بر روی مخروط افکنه‌های مورد مطالعه

| مخروط افکنه | شاخص VF | شاخص β | شاخص SMF | شاخص FCI |
|-------------|---------|--------------|----------|----------|
| ۱ | ۱۲,۰ | ۴,۵۷ | ۱/۰۲ | ۰,۵۱ |
| ۲ | ۰,۶۱ | ۳,۷۵ | ۱,۳۵ | ۰,۳۰ |
| ۳ | ۰,۶۴ | ۳,۸۸ | ۱,۲ | ۰,۳۷ |
| ۴ | ۰,۲۷ | ۴,۶۸ | ۱,۱ | ۰,۷۲ |
| ۵ | ۰,۵۴ | ۳,۶۱ | ۱,۳ | ۰,۶۵ |
| ۶ | ۱,۶ | ۵,۲ | ۱,۷ | ۰,۸۰ |
| ۷ | ۱,۰ | ۵,۱ | ۱,۷ | ۰,۸۸ |
| ۸ | ۰,۷۰ | ۴,۸۱ | ۱,۲ | ۰,۹۸ |
| ۹ | ۰,۶۵ | ۳,۵۱ | ۱,۲ | ۰,۸۳ |
| ۱۰ | ۰,۵۸ | ۵,۱ | ۱,۲۴ | ۰,۹۸ |

محاسبه بزرگی زلزله با استفاده از روش‌های امبر سز و ملویل، ولز و اسمیت، زارع و اشجعی نشان دهنده این است که بیشترین توان لرزه‌خیزی مربوط به گسل شماره ۱ با بزرگی ۷/۴۷ ریشر و کمترین توان لرزه‌خیزی مربوط به گسل شماره ۱۰ با بزرگی ۵ ریشر می‌باشد. بررسی شتاب، سرعت و جابجایی نیز در گسل

شماره ۱بیشترین و در گسل شماره ۱۰ کمترین میزان را دارد. نتایج حاصل از بررسی شدت زلزله در کانون آن نشان‌دهنده آن است که:

۱. گسل‌های شماره ۱، ۸، ۴ شدت نسبی زلزله بالاتر از ۹ مرکالی را دارند
 ۲. مخروط‌افکنهای شماره ۲، ۹ و ۱۰ بر روی گسل‌های با بالاترین شدت نسبی زلزله (بالاتر از ۹ مرکالی) قرار دارند (جدول ۴).

جدول ۴ نتایج محاسبه توان لرزه‌زایی گسل‌های مورد مطالعه

| حداکثر سرعت افقی و قائم (cm/sec) | حداکثر جابجایی افقی و قائم (cm) | حداکثر شتاب افقی و زمان (cm sec ⁻²) | شدت زلزله بر حسب مرکالی | بنگ | بزرگی زلزله | با فرمول اسمیت | بزرگی زلزله | با فرمول امپرسن | بزرگی زلزله با فرمول زارع | بزرگی زلزله با فرمول فرومل اشپیچی | طول (km) | کل |
|--|---------------------------------------|---|----------------------------|------|-------------|----------------|-------------|-----------------|------------------------------|--------------------------------------|----------|----|
| ۱,۶۸-۳,۱۱ | ۱,۲۴-۱,۳۴ | ۰,۴۴-۰,۴۷ | ۹/۸۹ | ۷,۴۷ | ۷,۴ | ۷,۰ | ۷,۶ | ۷,۴ | ۷,۰ | ۹۰ | ۱ | |
| ۱,۴۴-۲,۹ | ۱,۰۰-۱,۱۹ | ۰,۴۰-۰,۴۳ | ۹,۱ | ۷ | ۷,۰۱ | ۷,۹۹ | ۷,۹۸ | ۷,۰۵ | ۵۵ | ۲ | | |
| ۱,۴۴-۲,۹ | ۱,۰۰-۱,۱۹ | ۰,۴۰-۰,۴۳ | ۹,۱ | ۷,۰۶ | ۷,۰۶ | ۷,۰۰ | ۷,۰۶ | ۷,۰۹ | ۵۰ | ۳ | | |
| ۱,۰۹-۳ | ۱,۱۷-۱,۲۹ | ۰,۴۳-۰,۴۶ | ۹,۶۱ | ۷,۳ | ۷,۲۲ | ۷,۲۶ | ۷,۳ | ۷,۳ | ۷۸ | ۴ | | |
| ۱,۱۶-۲,۶۵ | ۰,۸۰-۱ | ۰,۳۵-۰,۳۸ | ۸,۰۸ | ۶,۴ | ۶,۵ | ۶,۴ | ۶,۱ | ۶,۶ | ۱۶ | ۰ | | |
| ۱,۲۲-۲,۷۰ | ۰,۸۶-۱,۰۴ | ۰,۳۶-۰,۳۹ | ۸,۳ | ۶,۵ | ۶,۶ | ۶,۵ | ۶,۳ | ۶,۷ | ۲۱ | ۶ | | |
| ۱,۳۵-۲,۸۲ | ۰,۹۷-۱,۱۳ | ۰,۳۸-۰,۴۱ | ۸,۷۶ | ۶,۸ | ۶,۸۷ | ۶,۸ | ۶,۷ | ۶,۹ | ۲۲ | ۷ | | |
| ۱,۰۹-۳ | ۱,۱۷-۱,۲۹ | ۰,۴۳-۰,۴۶ | ۹,۶۱ | ۷,۳ | ۷,۳ | ۷,۳ | ۷,۳ | ۷,۳ | ۷۴ | ۸ | | |
| ۰,۷۸-۲,۳۱ | ۰,۴۸-۰,۷۴ | ۰,۲۶-۰,۳۰ | ۶,۹ | ۰,۷ | ۰,۹ | ۰,۷ | ۰,۲ | ۶ | ۰ | ۹ | | |
| ۰,۷۷-۲,۳۰ | ۰,۵۰-۰,۷۴ | ۰,۲۶-۰,۳۰ | ۶,۷ | ۰,۶ | ۰,۸ | ۰,۵ | ۰ | ۶ | ۴ | ۱۰ | | |

مساحت کل مخروط افکنه‌های مورد مطالعه ۲۹,۸۷۴۲۹۷ کیلومتر مربع می‌باشد. ۱۷,۸۰۵۶۱۸ کیلومتر مربع از مساحت مخروط افکنه‌ها در حریم ۱۰۰۰ متری و ۱۲,۰۶۷۹ کیلومتر مربع در حریم ۳۰۰۰ متری گسل‌ها قرار دارد؛ به عبارت دیگر ۵۶ درصد مساحت مخروط افکنه‌ها در حریم ۱۰۰۰ متر گسل و ۴۴ درصد در حریم ۳۰۰۰ متری می‌باشد. (جدول ۵). نتایج حاصل از پهنه‌بندی محدوده خطر گسل بر روی مخروط افکنه‌ها به روش بربیان و انطباق آن با کاربری‌های مختلف بیانگر این است که:

- مناطق مسکونی: ۵۸٪ مناطق مسکونی در حریم ۱۰۰۰ متری و ۴۲٪ در حریم ۳۰۰۰ متری گسل قرار

دارند.

- زمین‌های زراعی: ۶۹۰ زمین زراعی در حرمیم ۱۰۰۰ متری و ۳۱۰ در حرمیم ۳۰۰۰ متری قرار دارد.

- چشممه : ۶۱/۶۱ چشممه‌ها در حريم ۱۰۰۰ امتري و ۳۹/۳۹ در حريم ۳۰۰۰ امتري گسل قرار دارد.

- خطوط ارتباطی: ۳۹/۰ خطوط ارتباطی در حريم ۱۰۰۰ متری و ۶۱/۰ در حريم ۳۰۰۰ متری گسل قرار دارد (جدول ۶ و ۷).

جدول ۵ نتایج محاسبه مساحت مخروط افکنه‌های مورد مطالعه در حريم گسل

| مساحت مخروط افکنه‌ها در حریم ۳۰۰۰ متر (Km ^۲) | مساحت مخروط افکنه‌ها در حریم ۱۰۰۰ متر (Km ^۲) | مساحت کل مخروط افکنه‌ها (Km ^۲) |
|---|---|---|
| ۱۲,۰۶۸۶۷۹ | ۱۷,۸۰۵۶۱۸ | ۲۹,۸۷۴۲۹۷ |

جدول ۶ نتایج محاسبه مساحت زمین زراعی در حريم گسل

| مساحت زمین‌های زراعی در حريم ۳۰۰۰ متر (Km ^۲) | مساحت زمین‌های زراعی در حریم ۱۰۰۰ متر (Km ^۲) | مساحت کل زمین‌های زراعی (Km ^۲) |
|---|---|---|
| ۸,۵۴۶۲۷ | ۱۲,۶۹۰۲۳۱ | ۲۱,۲۳۶۵۰۱ |

جدول ۷ نتایج حاصل از پنهانبندی خطر گسل بر مخروط افکنه و کاربری‌های انسانی

| ردیف | کاربری | تعداد | حریم ۱۰۰۰ متر | حریم ۳۰۰۰ متر |
|------|--------------|-------|---------------|---------------|
| ۱ | مناطق مسکونی | ۳۳ | ۲۴ | ۹ |
| ۲ | زمین زراعی | ۵۲ | ۵۲ | - |
| ۳ | خطوط ارتباطی | ۲۲ | ۱۰ | ۱۲ |
| ۴ | چشم | ۱۶ | ۱۱ | ۵ |

۵. نتیجه گیری

با توجه به نتایج حاصل از این پژوهش، وضعیت فعالیت تکتونیک (گسل) در سطح مخروط افکنه‌ها است. همچنین توان لرزه‌ای بالای گسل‌ها بیانگر مخاطره‌آمیز بودن فعالیت گسل‌ها در سطح مخروط-افکنه‌های منطقه می‌باشد؛ بنابراین هرگونه فعالیت در سطح مخروط افکنه‌های منطقه (ساخت سکونتگاه، خطوط ارتباطی، پروژه‌های عمرانی و...) نیازمند تمهیدات و ملاحظات خاصی است تا هنگام بهره‌برداری از آن خسارات به حداقل ممکن تقلیل یابد. بررسی مقادیر به دست آمده نشان داد که نقش فعالیت تکتونیک در منطقه بر روی مخروط افکنه‌ها بیشتر بوده است و علت این نزدیک بودن مخروط افکنه‌های مورد مطالعه به گسل‌های بزرگ می‌باشد. در محدوده مورد مطالعه ۲ گسل دارای بیشترین طول بودن که خطرات این گسل شهرهای تبریز و خسرو شهر را با ویرانی گسترده تهدید می‌کند. نتایج به دست آمده از محاسبه توان لرزه‌زایی گسل‌ها نیز مشخص شد. تعداد ۱۰ گسل مورد مطالعه توان لرزه‌زایی بالاتر از ۶ ریشتر را دارند. توان لرزه‌زایی گسل با طول آن و میزان جابجایی آن در ارتباط است؛ به این معنا که

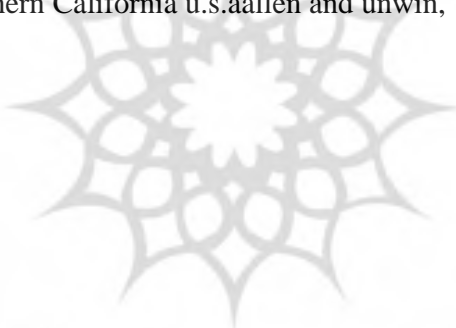
امکان فعالیت گسل‌های طویل بیشتر و فعالیت آن‌ها با رهایی انرژی و جابجایی بسیار زیاد همراه است و درنتیجه باعث رخداد زمین لرزه بزرگ و ویرانگر شدید می‌شود. بیشترین مناطق مسکونی در حریم ۳۰۰۰ متر تا ۱۰۰۰۰ متر از گسل قرار داشته‌اند. در این بین شهرستان‌های خسروشهر، ایلخچی، آذرشهر، ممقان و قسمت‌هایی از تبریز در معرض ویرانی شدید و خسارت شدید قرار گرفته است. با توجه به بررسی سکونتگاه‌های مستقر بر روی مخروطه افکنه‌های مورد مطالعه می‌توان نتیجه گرفت که روستاهایی معده‌دی در حریم یعنی زیر ۳۰۰۰ متر گسل قرار گرفته‌اند و دارای پتانسیل ویرانی شدید هستند و در نتیجه در معرض خطر بالاتری نسبت به بقیه روستاهای منطقه نسبت با ۳۰۰۰ متر به بالاست.

کتابنامه

- پورکرمانی، محسن؛ آرین، مهران؛ ۱۳۷۶. سایزموتکتونیک، شرکت مهندسی مشاور در آب. شماره ۶۳. صص ۵۵-۶۹.
- رجبی، معصومه؛ آفاجانی، کامیلا؛ ۱۳۸۹. بررسی گسل‌ها، توان لرزه‌زایی و خطر زمین‌لرزه در مخروط افکنه‌های شمال شرق دریاچه ارومیه. *فصلنامه جغرافیای طبیعی*. سال سوم. شماره ۷. صص ۱-۱۴.
- رضایی مقدم، محمدحسین؛ ۱۳۷۴. پژوهشی در تشکیل کوهپایه‌ها و دشت‌های انباشتی دامنه جنوبی میشوداغ. پایان نامه دکتری. استاد راهنمای مقصود خیام، دانشکده علوم انسانی و اجتماعی، دانشگاه تبریز. صص ۱-۱۸۰.
- روستایی، شهرام؛ زمردیان، محمدجعفر؛ رجبی، معصومه؛ مقامی مقیم، غلامرضا؛ ۱۳۸۸. نقش فعالیت‌های تکتونیکی در شکل‌گیری و گسترش مخروط افکنه‌های دامنه جنوبی الاداغ. *مجله جغرافیا و توسعه*. شماره ۱۳. صص ۱۵۶-۱۳۷.
- شایان، سیاوش؛ زارع، غلامرضا؛ ۱۳۹۲. تعیین محدوده خطر زمین‌لرزه در مخروط افکنه‌های فعال با روش تحلیل فضایی بربریان (مطالعه موردنی مخروط افکنه گرمسار. مدرس علوم انسانی - برنامه ریزی و آمایش فضا. دوره هفدهم. شماره ۲. صص ۹۳-۱۲۰).
- شرکت صحراءکاو؛ ۱۳۸۰. مطالعات ژئولکتریک دشت هادیشهر. سازمان منابع آب استان آذربایجان شرقی، طرح مطالعاتی سازمان آب و فاضلاب استان آذربایجان شرقی. شماره ۳۴. صص ۳۳-۲۳.
- شریفی کیا، محمد؛ افضلی، عباسعلی؛ ۱۳۹۱. پایش و تحلیل روند افزایش شوری خاک در مخروط افکنه دامغان با استفاده از تکنیک‌های سنجش از دوری و داده‌های پیمایش. *مجله مخاطرات مشهد*. سال اول. شماره ۳. صص ۸۷-۷۳.
- عبدالینی، موسی؛ رجایی، عبدالحمید؛ ۱۳۸۵. بررسی نقش عوامل مؤثر در گسترش و تکامل مخروط افکنه‌های ارتفاعات دره دیز-دیوان داغی با استفاده از روش‌ها و تکنیک‌های جدید. *فصلنامه پژوهش جغرافیایی*. شماره ۵۵. صص ۸۹-۷۳.
- عباس نژاد، احمد؛ ۱۳۷۶. بررسی نوزمین ساختی مخروطه افکنه‌های ناحیه کرمان، علوم زمین، شماره ۲۶-۲۵.
- محتراری، داود؛ خیام، مقصود؛ ۱۳۸۲. ارزیابی عملکرد فعالیت تکتونیکی بر اساس مرغولوژی مخروط افکنه‌ها دامنه شمالی میشوداغ. *فصلنامه پژوهش‌های جغرافیایی*. شماره ۴۴. صص ۱۰-۱.

موسوی حرمی، رضا؛ ۱۳۷۷. رسوب شناسی، انتشارات آستان قدس رضوی. چاپ پنجم. صص ۱-۴۷۴.

- Andrey Korjenkov., 2004. Morphological response through competing of thrusting and erosion, at basin foothills, the northern Tien Shan, Kyrgyzstan. 268, 50-70.
- Bull W. B. and L. D. McFadden., 1977. Tectonic geomorphology of north fault, California in: Doebring, geomorphology of arid regions. Allen and Unwin. London.
- Drew,f., 1873.Alluvial and lacustrine deposits and glacial records of the upper Indusbasin,Quarterly Journal of the Geological Society of London, 29, 441-471.
- Hooke, R. L., 1972. Geomorphic evidence for lateWisconsin and Holocene tectonicdeformation in Death vally,California.Geological Socity of America Bulletin, 83,2073-2098.
- Huggett,r.j., 2003. Fundamaental of geomorphology.Routledge.
- Mcperson,H.J. AND Hirst, F (1972. Sediment changes on two Alluvial fans in the CanadaianCordillerra British Columbia, 14, 161-172.
- Mukerji, A. B., 1976. Terminal fans of inlands streams insutlej-yamuna plain, india, zeitschrift fur Geomorphology, 20, 190-204.
- Ramirez-Herrera, M .T., 1998. Geomorphic assessment of active tectonics in the Acambaygarban, Mexican Volcanic belt. Earth surface process and landforms. 23,452.pp 317-322.
- Rockwell, T. k. et. Al., 1984. alatePleistocene- Holocene soil chronosquence in theventura basin southern California u.s.a allen and unwin, 16 .476.309-327.



پژوهشگاه علوم انسانی و مطالعات فرهنگی
پرستال جامع علوم انسانی